

Contexto Productivo

- · Atlántico, Colombia
- 1600 Reproductoras
- Línea: Camborough 22
- · Ciclo completo
- Integración

Condiciones ambientales y manejo

- Ambiente controlado: 26°C ± 1°C
 Duración de la lactancia: 21 días
- Consumo: ad libitum
- Densidad energética de la dieta:
 - 3,250 Kcal de energía metabolizable

Registros

- Inicialmente 22,550 registros de consumo diario individual
- Edición de datos: Hembras con lactancias completas y normales, no más de 5 partos
- Total de registros empleado: 18,396 correspondientes a 876 cerdas
- · Medición del consumo: Por diferencia



Análisis preliminar

Modelo con arreglo de medidas repetidas en el tiempo.

Consumo_{iik}=
$$\mu$$
 + GP_i + C(GP)_{IJ} + t_k + (t*GP)_{Kj} + e_{iik}

Correlación de mediciones intra-individuo: estructura de primer orden auto-regresivo

Diferencias en consumo medio entre los grupos de parto (primer parto, segundo parto y tres a cinco partos)

Estimación de la función de consumo

- Una curva por cada grupo
- ¿Tipo de función?
- Observación de la tendencia de los registros
- Fenómeno importante: descenso en el consumo voluntario hacia el final de la fase en hembras jóvenes
- NRC, 1998: Tendencia cuadrática

Alternativas

• Funciones de la forma:

$$y = a \left[1 - \exp(cx) \right]$$

- Con c < 0
- Pero: $\lim(a(1-\exp(-cx))=a$
- Esto implica que este tipo de funciones no modelan la caída en la curva del consumo hacia el final de la fase productiva
- Por lo tanto se emplearon funciones polinomiales de segundo orden

Modelo

- Inicialmente: Se incluyó el termino de "lack of fit"
- El efecto de "lack of fit" no resultó significativo (p>0.05)
- Así, se ajustó el siguiente modelo¹:

$$\hat{y} = \hat{\beta}_0 + \hat{\beta}_1 x + \hat{\beta}_2 x^2$$

1. Draper and Smith, Applied regression analysis, 1981

Comparación de parámetros a través de grupos

- Hipótesis lineal general
- Prueba F:

H₀: El i-ésimo parámetro es constante a través de grupos

Ha: El i-ésimo de al menos de uno de los tres grupos es diferente

$$i = 0,1,2$$

Searle SR, Linear Models, 1971

Modelamiento del pico de consumo

$$y = \beta_0 + \beta_1 X + \beta_2 X^2$$

$$dy/dx = \beta_1 + 2\beta_2 X = 0$$

$$x_c = -\beta_1/2\beta_2$$

Stewart, Cálculo de una variable, 2008

Segunda derivada

$$\frac{d^2\hat{y}}{dx^2} = 2\hat{\beta}_2$$

Concavidad de la función

Máximo o mínimo (global en este caso)

Stewart, Cálculo de una variable, 2008

Valor crítico de Consumo

 Corresponde al valor de la función evaluada en el punto critico x_c

$$\begin{split} \hat{y}_{\text{max}} &= \hat{\beta}_0 + \hat{\beta}_1 \left(-\frac{\hat{\beta}_1}{2\hat{\beta}_2} \right) + \hat{\beta}_2 \left(-\frac{\hat{\beta}_1}{2\hat{\beta}_2} \right)^2 \\ &= \hat{\beta}_0 - \frac{\hat{\beta}_1^2}{2\hat{\beta}_2} + \frac{\hat{\beta}_1^2}{4\hat{\beta}_2} \\ &= \hat{\beta}_0 - \frac{\hat{\beta}_1^2}{4\hat{\beta}_0} \end{split}$$

Stewart, Cálculo de una variable, 2008

Modelamiento del consumo total

$$\begin{split} CT &= \int\limits_0^L \! \left(\hat{\beta}_0 \! + \! \hat{\beta}_1 x \! + \! \hat{\beta}_2 x^2 \right) \! dx \\ &= \hat{\beta}_0 x \Big|_0^L + \hat{\beta}_1 \frac{x^2}{2} \Big|_0^L + \hat{\beta}_2 \frac{x^3}{3} \Big|_0^L \\ &= \hat{\beta}_0 \left(L \! - \! 0 \right) \! + \! \hat{\beta}_1 \frac{\left(L \! - \! 0 \right)^2}{2} \! + \! \hat{\beta}_2 \frac{\left(L \! - \! 0 \right)^3}{3} \\ &= \hat{\beta}_0 L + \frac{\hat{\beta}_1}{2} L^2 + \frac{\hat{\beta}_2}{3} L^3 \end{split}$$

Stewart, Cálculo de una variable, 2008

Resultados

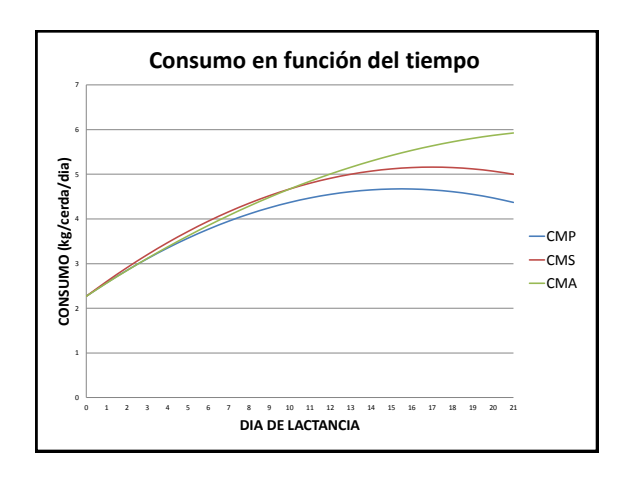
- De acuerdo a las pruebas F, el intercepto no fué diferente a través de grupos (p > 0.05)
- Para los dos parámetros restantes, se encontraron diferencias entre grupos (p < 0.05)
- Por lo tanto, se ajustaron interceptos comunes para los tres grupos

Medias de Mínimos Cuadrados

	SEGUNDO PARTO	MULTÍPARAS	EN GENERAL
4.62Kg C ⁻¹ *d ⁻¹	4.73Kg C ⁻¹ *d ⁻¹	5.01Kg C ⁻¹ *d ⁻¹	4.92Kg C ⁻¹ *d ⁻¹

Consumo función cuadrática del día de lactancia





	Parámetros estimados					
Número de partos	Días al pico	Pico de consumo	Consumo total	Segunda derivada		
1	15,5	4,67	85,15	-0,02		
2	17	5,13	91,77	-0,02		
3-5	25	5,9	95,30	-0,012		

¿Qué nos dícen los resultados?

$$\begin{array}{c} \text{CT} = \hat{\beta}_0 \left(21\right) + \frac{\hat{\beta}_1}{2} \left(21\right)^2 + \frac{\hat{\beta}_2}{3} \left(21\right)^3 \\ = 21\hat{\beta}_0 + 220, 5\hat{\beta}_1 + 3087\hat{\beta}_2 \\ \\ x = -\frac{\hat{\beta}_1}{2\hat{\beta}_2} \\ \end{array} \qquad \begin{array}{c} \hat{y}_{\text{max}} = \hat{\beta}_0 + \hat{\beta}_1 \left(-\frac{\hat{\beta}_1}{2\hat{\beta}_2}\right) + \hat{\beta}_2 \left(-\frac{\hat{\beta}_1}{2\hat{\beta}_2}\right)^2 \\ = \hat{\beta}_0 - \frac{\hat{\beta}_1^2}{2\hat{\beta}_2} + \frac{\hat{\beta}_1^2}{4\hat{\beta}_2} \\ = \hat{\beta}_0 - \frac{\hat{\beta}_1^2}{4\hat{\beta}_2} \end{array}$$

• Como $\hat{eta}_2 < 0$, entre más cercano a cero sea el valor de este parámetro y mayor el de \hat{eta}_1 , el pico de consumo se logrará más tarde, el pico de consumo y el consumo total serán mayores también

Implicaciones

- Si el pico de consumo se logra más tarde, el pico de consumo será mayor y también el consumo total de alimento.
- Por ello, las estrategias de manejo de la granja deben enfocarse en evitar la caída del consumo hacia al final de la lactancia

Recomendaciones

- Las estrategias de manejo deben tener como objetivo el lograr el pico de consumo lo más cerca al final de la fase
- Se requiere de un trabajo fuerte y organizado en el manejo de registros en explotaciones comerciales, lo cual permitirá realizar análisis que faciliten la toma de decisiones y la formulación de recomendaciones

Gracias